

Aspectos Físicos das Equações de Transporte das Tensões de Reynolds

- Os modelos baseados no conceito de viscosidade turbulenta fornecem resultados satisfatórios para diversos escoamentos turbulentos, mas possuem algumas deficiências:
 - São incapazes de prever corretamente os efeitos de curvatura de linhas de corrente sobre o escoamento;
 - A definição de $\overline{u_i u_j}$, usada nesses modelos é inadequada para o cálculo de tensões normais ($\overline{u u}$, $\overline{v v}$ e $\overline{w w}$);
- Uma alternativa para a solução dos problemas acima consiste no cálculo das tensões de Reynolds $\overline{u_i u_j}$, diretamente de suas equações de transporte.

5 Modelos de Transporte para as Tensões de Reynolds

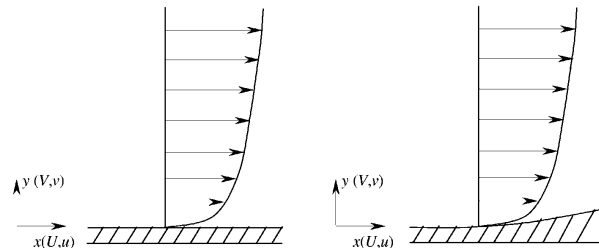
Cesar J. Deschamps
2025

O Termo de Produção P_{ij}

- Vamos analisar o termo de geração de $\overline{u_i u_j}$ devido à ação da deformação do escoamento médio:

$$P_{ij} = -\overline{u_i u_k} \frac{\partial U_j}{\partial x_k} - \overline{u_j u_k} \frac{\partial U_i}{\partial x_k}$$

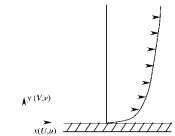
para escoamentos sobre superfícies plana e curva



O Termo de Produção P_{ij}

- Para uma camada limite sobre uma placa plana a única tensão importante é \overline{uv} .
 - Neste caso a geração de \overline{uv} é dada por

$$P_{12} = -\overline{v^2} \frac{\partial U}{\partial y}$$



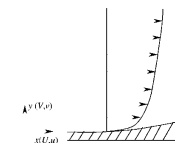
- Por outro lado, para uma camada limite sobre uma superfície levemente curva com

$$\frac{\partial V}{\partial x} \sim 10^{-2} \frac{\partial U}{\partial y}$$

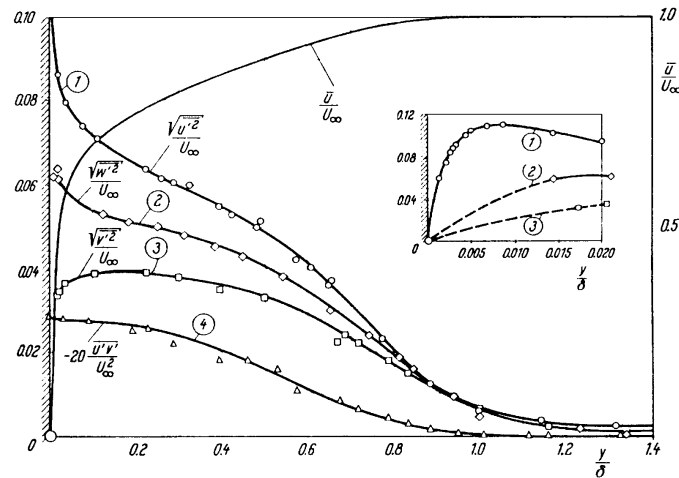
resulta

$$P_{12} = \left[-\overline{v^2} \frac{\partial U}{\partial y} + \overline{u^2} \frac{\partial V}{\partial x} \right]$$

$$P_{22} = -2\overline{uv} \frac{\partial V}{\partial x}$$



O Termo de Produção P_{ij}



2025

Modelagem de Escoamentos Turbulentos - C.J. Deschamps - UFSC

5

O Termo de Produção P_{ij}

- Próximo à superfície \overline{u}^2 é muito maior do que \overline{v}^2 e, desta forma, aumenta a influência de $\partial V/\partial x$ em P_{12} ;
 - Além disto, P_{22} se origina puramente de $\partial V/\partial x$ e, como para uma superfície côncava este gradiente é positivo, \overline{v}^2 é aumentada;
 - Como resultado, verifica-se que em semelhantes situações \overline{uv} é entre 10 a 15 vezes mais sensível a $\partial V/\partial x$ do que $\partial U/\partial y$;
 - Obviamente, os modelos baseados no conceito de viscosidade turbulenta são incapazes de prever semelhante influência de $\partial V/\partial x$ sobre \overline{uv} .
- De acordo com a hipótese de Boussinesq, temos que para um escoamento ao longo de uma superfície curva:

$$-\overline{uv} = \nu_t \left[\frac{\partial U}{\partial y} + \frac{\partial V}{\partial x} \right]$$

- Ou seja, se a deformação $\partial V/\partial x$ for 1% de $\partial U/\partial y$ teremos somente uma alteração de 1% em \overline{uv} .

2025

Modelagem de Escoamentos Turbulentos - C.J. Deschamps - UFSC

6

O Termo Fonte F_{ij}

- A aplicação de uma força de corpo pode alterar as características do escoamento médio e da turbulência;
- Uma flutuação de força de corpo, f_i , origina termos do tipo:

$$F_{ij} = (\overline{f_i u_j} + \overline{f_j u_i}) \quad \text{na equação de } \overline{u_i u_j}$$

$$F_{i0} = \overline{f_i \theta_i} \quad \text{na equação de } \overline{u_i \theta}$$

- Geralmente os efeitos sobre o escoamento médio podem ser modelados usando o conceito de viscosidade turbulenta;
- No entanto, os efeitos sobre $\overline{u_i u_j}$ e $\overline{u_i \theta}$ só podem ser descritos por modelos baseados nas suas respectivas equações de transporte.

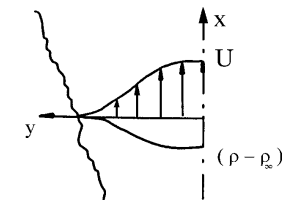
2025

Modelagem de Escoamentos Turbulentos - C.J. Deschamps - UFSC

7

O Termo Fonte F_{ij} : Forças de Empuxo

- Vamos considerar o caso de uma pluma térmica



- As flutuações de força originadas pelo campo gravitacional são:

$$f_i = \rho' g_i$$

2025

Modelagem de Escoamentos Turbulentos - C.J. Deschamps - UFSC

8

O Termo Fonte F_{ij} : Forças de Empuxo

- No presente caso temos

$$g_i = (-g, 0, 0)$$

- Logo a geração de $\overline{u_i u_j}$ (P_{ij} e F_{ij}) é dada por

$$\overline{u^2} : -\overline{uv} \frac{\partial U}{\partial y} - 2 \overline{up'} \frac{g}{\rho}$$

$$\overline{v^2} \text{ e } \overline{w^2} : 0$$

$$\overline{uv} : -\overline{v^2} \frac{\partial U}{\partial y} - \overline{vp'} \frac{g}{\rho}$$

- $\partial U / \partial y$ é negativo, logo \overline{uv} é positivo;
- Da mesma forma, como $\partial p / \partial y$ é positivo, $\overline{vp'}$ é negativo;
- Assim, a força de empuxo aumenta a magnitude de \overline{uv} .

2025

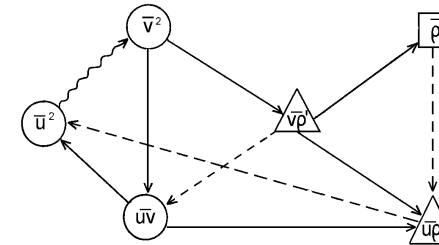
Modelagem de Escoamentos Turbulentos - C.J. Deschamps - UFSC

9

O Termo Fonte F_{ij} : Forças de Empuxo

- Vamos considerar as relações entre correlações de segunda ordem nas equações de transporte para um escoamento bidimensional;

- Neste caso: $g_i = (-g, 0, 0)$



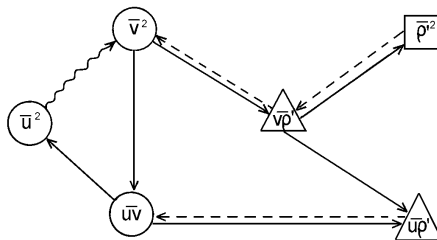
2025

Modelagem de Escoamentos Turbulentos - C.J. Deschamps - UFSC

10

O Termo Fonte F_{ij} : Forças de Empuxo

- Para um escoamento horizontal teríamos: $g_i = (0, -g, 0)$.



2025

Modelagem de Escoamentos Turbulentos - C.J. Deschamps - UFSC

11

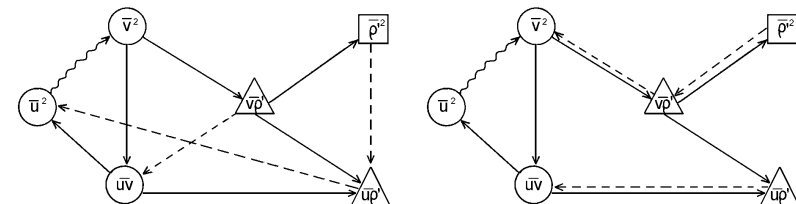
O Termo Fonte F_{ij} : Forças de Empuxo

- As relações entre as tensões e os fluxos de escalares associados a gradientes de velocidade e de escalares médios são as mesmas para as duas situações de escoamento;

- Porém, as relações decorrentes do campo gravitacional são bem distintas nos dois casos;

- A complexidade das relações entre tensões e fluxos turbulentos sugere que os modelos de turbulência baseados no conceito de viscosidade turbulenta terão, na melhor das hipóteses, pouca generalidade;

- Assim, somente através do emprego de equações de transporte para $\overline{u_i u_j}$ e $\overline{u_i \theta}$ é que realmente podemos alcançar uma descrição adequada do fenômeno.



2025

Modelagem de Escoamentos Turbulentos - C.J. Deschamps - UFSC

12

O Termo Fonte F_{ij} : Força de Coriolis

- Uma outra situação onde a equação de transporte de $\overline{u_i u_j}$ mostra-se superior a hipótese de Boussinesq ocorre quando forças de Coriolis estão presentes;
- Quando um sistema de coordenadas é sujeito a uma velocidade angular ω , aparecem acelerações associadas ao uso do sistema de coordenadas não-inercial. Matematicamente, isto pode ser expresso como

$$\left(\frac{D\vec{V}}{Dt}\right)_I = \left(\frac{D\vec{V}}{Dt}\right)_R + \vec{\omega} \otimes (\vec{\omega} \otimes \vec{r}) + 2\vec{\omega} \otimes \vec{V}_R$$

- Os subíndices "I" e "R" referem-se aos sistemas de coordenadas inercial e em rotação, respectivamente.
- $(D\vec{V}/Dt)_I$ é a aceleração total a que o fluido estará sujeito e é a quantidade a ser igualada ao somatório das forças agindo sobre o escoamento;
- Usando a expressão para $(D\vec{V}/Dt)_I$ podemos escrever a equação da conservação da quantidade de movimento com base em velocidades relativas ao sistema de coordenadas em rotação;

$$\frac{\partial \vec{V}}{\partial t} + \vec{V} \cdot \nabla \vec{V} = -\frac{1}{\rho} \nabla P - \vec{\omega} \otimes (\vec{\omega} \otimes \vec{r}) - 2\vec{\omega} \otimes \vec{V} + \nu \nabla^2 \vec{V}$$

2025

Modelagem de Escoamentos Turbulentos - C.J. Deschamps - UFSC

13

O Termo Fonte F_{ij} : Força de Coriolis

- A força de Coriolis no escoamento turbulento origina uma força de flutuação

$$f_i = -2\omega_k \epsilon_{ikm} u_m$$

- O símbolo de permutação ϵ_{ikm} é definido como

$$\epsilon_{ikm} = \begin{cases} 0 & \text{se dois ou mais índices se repetem} \\ 1 & \text{se a permutação é seqüencial} \\ -1 & \text{se a permutação é alternada} \end{cases}$$

- Assim, na equação de transporte de $\overline{u_i u_j}$ temos o seguinte termo fonte

$$F_{ij} = -2\omega_k (\epsilon_{ikm} \overline{u_m u_j} + \epsilon_{jkm} \overline{u_m u_i})$$

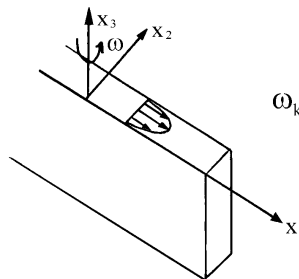
2025

Modelagem de Escoamentos Turbulentos - C.J. Deschamps - UFSC

14

O Termo Fonte F_{ij} : Força de Coriolis

- Para um duto com rotação do tipo, tem-se $F_{12} = -2\omega(\overline{u^2} - \overline{v^2})$



- Neste caso P_{12} é negativa próximo à superfície de pressão e positiva junto à superfície de sucção;
- Portanto, \overline{uv} é aumentada junto à superfície de pressão e amortecida próximas à superfície de sucção.

2025

Modelagem de Escoamentos Turbulentos - C.J. Deschamps - UFSC

15

O Termo de Redistribuição ϕ_{ij}

- Vamos considerar as equações de $\overline{u_i u_j}$ para o caso de um escoamento sobre uma placa plana:

$$\frac{D\overline{uv}}{Dt} = -\overline{v^2} \frac{\partial \overline{U}}{\partial y} + \frac{\overline{p}}{\rho} \left[\frac{\partial \overline{u}}{\partial y} + \frac{\partial \overline{v}}{\partial x} \right] - \frac{\partial}{\partial y} \left[\overline{uv^2} + \frac{\overline{pu}}{\rho} \right] - 2\nu \frac{\partial \overline{u}}{\partial x_k} \frac{\partial \overline{v}}{\partial x_k}$$

$$\frac{D\overline{u^2}}{Dt} = -2\overline{uv} \frac{\partial \overline{U}}{\partial y} + 2\frac{\overline{p}}{\rho} \frac{\partial \overline{u}}{\partial x} - \frac{\partial}{\partial y} \left[\overline{u^2 v} \right] - 2\nu \left(\frac{\partial \overline{u}}{\partial x_k} \right)^2$$

$$\frac{D\overline{v^2}}{Dt} = 0 + 2\frac{\overline{p}}{\rho} \frac{\partial \overline{v}}{\partial y} - \frac{\partial}{\partial y} \left[\overline{v^3} + 2\frac{\overline{pv}}{\rho} \right] - 2\nu \left(\frac{\partial \overline{v}}{\partial x_k} \right)^2$$

$$\frac{D\overline{w^2}}{Dt} = 0 + 2\frac{\overline{p}}{\rho} \frac{\partial \overline{w}}{\partial z} - \frac{\partial}{\partial y} \left[\overline{w^2 v} \right] - 2\nu \left(\frac{\partial \overline{w}}{\partial x_k} \right)^2$$

- As flutuações de pressão transferem energia da direção principal do escoamento para as outras direções. Este mecanismo é essencial para a manutenção da turbulência.
- Através da distribuição de energia, as flutuações de pressão atuam no sentido contrário da anisotropia da turbulência.

2025

Modelagem de Escoamentos Turbulentos - C.J. Deschamps - UFSC

16

Modelo Básico para a Avaliação das Tensões de Reynolds

- Qualquer modelo que seja proposto para o fechamento das equações de transporte das tensões de Reynolds, deve possuir uma série de propriedades:
 - Formato tensorial correto:** mesmas propriedades de simetria e contração que o processo real exige.
 - Invariância em relação ao sistema de coordenadas:** deve ser independente do eixo de referência, incluindo eixos com aceleração.
 - Fisicamente realizável:** não deve prever valores fisicamente impossíveis, tais como tensões normais negativas.
 - Reproduzir valores limites junto a superfícies.**
 - Independência geométrica:** não deve depender de detalhes da geometria sob análise.
- Os modelos a serem descritos a seguir obedecem as primeiras duas condições.

2025

Modelagem de Escoamentos Turbulentos - C.J. Deschamps - UFSC

17

Modelação da Dissipação ε_{ij}

- Conforme já discutido, o processo de dissipação viscosa acontece no nível das pequenas escalas:

$$\varepsilon_{ij} = -2\nu \frac{\partial u_i}{\partial x_k} \frac{\partial u_j}{\partial x_k}$$

- Para número de Reynolds elevado, pode-se supor que a turbulência de pequenas escalas será praticamente isotrópica (isotropia local).
- Assim, para número de Reynolds elevado, assume-se geralmente que a dissipação segue esta condição de isotropia, ou seja,

$$\varepsilon_{ij} = \frac{2}{3} \varepsilon \delta_{ij}$$

- Esta condição implica em um efeito igual para as tensões normais e nenhum para tensões cisalhantes;
 - A validade da hipótese de isotropia para ε_{ij} não é totalmente aceita entre os vários grupos de pesquisa da área;
 - No entanto, devido à dificuldade de se obterem dados confiáveis de ε_{ij} , a maioria dos autores tenta compensar, através do termo de redistribuição ϕ_{ij} , qualquer imprecisão desta hipótese.

2025

Modelagem de Escoamentos Turbulentos - C.J. Deschamps - UFSC

18

Modelação da Difusão d_{ij}

- O termo de difusão na equação na tensão de Reynolds possui a seguinte forma:

$$d_{ij} = -\frac{\partial}{\partial x_k} \left[\overline{u_i u_j u_k} + \frac{\overline{p u_i}}{\rho} \delta_{jk} + \frac{\overline{p u_j}}{\rho} \delta_{ik} - \nu \frac{\partial \overline{u_i u_j}}{\partial x_k} \right]$$

- Com exceção de regiões próximas a paredes, os termos associados à flutuação de pressão são desprezíveis.
- Além disto, termos de ordem superior possuem um efeito menor sobre o valor da tensão de Reynolds. Desta forma, pode-se adotar um modelo simplificado para o transporte devido à correlação tripla de velocidade.
- A hipótese generalizada do gradiente de difusão de Daly e Harlow (1970) é a forma mais utilizada para a aproximação do transporte difusivo:

$$\overline{u_k \phi} = -c_\phi \frac{k}{\varepsilon} \overline{u_k u_m} \frac{\partial \overline{\phi}}{\partial x_m}$$

- Assim, se ϕ representar a tensão de Reynolds instantânea $\overline{u_i u_j}$, a relação acima fornece

$$\overline{u_k u_i u_j} = -c_s \frac{k}{\varepsilon} \overline{u_k u_m} \frac{\partial \overline{u_i u_j}}{\partial x_m}$$

onde $c_s = 0,22$.

2025

Modelagem de Escoamentos Turbulentos - C.J. Deschamps - UFSC

19

Modelação da Redistribuição ϕ_{ij}

- Através da manipulação da equação diferencial de u_i , pode-se chegar a uma equação para a flutuação de pressão p :

$$\frac{1}{\rho} \frac{\partial^2 p}{\partial x_k^2} = -\frac{\partial^2}{\partial x_i \partial x_k} (\overline{u_i u_k} - \overline{u_i u_k}) - 2 \frac{\partial \overline{u_k}}{\partial x_i} \frac{\partial \overline{u_i}}{\partial x_k}$$

- Chou (1945) mostrou que a solução desta equação substituída no termo de ϕ_{ij} produz um novo termo composto de três parcelas:

$$\phi_{ij,1} = \frac{1}{4\pi} \int_{\text{vol}} \left[\frac{\partial^2 \overline{u_\ell u_m}}{\partial x_\ell \partial x_m} \right] \left[\frac{\partial \overline{u_i}}{\partial x_j} + \frac{\partial \overline{u_j}}{\partial x_i} \right] \frac{d\forall}{r}$$

$$\phi_{ij,2} = \frac{1}{4\pi} \int_{\text{vol}} 2 \left[\frac{\partial \overline{u_\ell}}{\partial x_m} \right] \frac{\partial \overline{u_m}}{\partial x_\ell} \left[\frac{\partial \overline{u_i}}{\partial x_j} + \frac{\partial \overline{u_j}}{\partial x_i} \right] \frac{d\forall}{r}$$

$$\phi_{ij,w} = \frac{1}{4\pi} \int_{\text{arcs}} \frac{\partial}{\partial n} \left[\frac{1}{r} \right] \left[\frac{\partial \overline{u_i}}{\partial x_j} + \frac{\partial \overline{u_j}}{\partial x_i} \right] dS$$

2025

Modelagem de Escoamentos Turbulentos - C.J. Deschamps - UFSC

20

Modelação da Redistribuição ϕ_{ij}

- De fato, a equação anterior sugere que o termo de redistribuição é afetado por diferentes processos físicos;

- A primeira parcela, $\phi_{ij,1}$, é associada a flutuações de velocidade

$$\phi_{ij,1} = \frac{1}{4\pi} \int_{vol} \left[\frac{\partial^2 u_\ell u_m}{\partial x_\ell \partial x_m} \right] \left[\frac{\partial u_i}{\partial x_j} + \frac{\partial u_j}{\partial x_i} \right] dV$$

- A segunda, $\phi_{ij,2}$, representa contribuições provenientes de quantidades do escoamento médio e da turbulência

$$\phi_{ij,2} = \frac{1}{4\pi} \int_{vol} 2 \left[\frac{\partial U'_\ell}{\partial x_m} \right] \frac{\partial u'_m}{\partial x_\ell} \left[\frac{\partial u_i}{\partial x_j} + \frac{\partial u_j}{\partial x_i} \right] dV$$

2025

Modelagem de Escoamentos Turbulentos - C.J. Deschamps - UFSC

21

Modelação da Redistribuição ϕ_{ij}

- Finalmente $\phi_{ij,w}$ representa a influência de paredes sólidas na redistribuição da turbulência.

$$\phi_{ij,w} = \frac{1}{4\pi} \int_{arrea} \frac{\partial}{\partial n} \left(\frac{1}{r} \right) p \left[\frac{\partial u_i}{\partial x_j} + \frac{\partial u_j}{\partial x_i} \right] dS$$

- Os termos em ϕ_{ij} atuam no sentido de redistribuir energia entre as tensões de Reynolds;
- Assim, tanto $\phi_{ij,1}$ como $\phi_{ij,2}$ atuam para levar a turbulência à condição de isotropia (onde tensões normais são iguais e tensões cisalhantes são zero, ou seja, $\overline{u_i u_j} = 2/3 k \delta_{ij}$);

2025

Modelagem de Escoamentos Turbulentos - C.J. Deschamps - UFSC

22

Modelação da Redistribuição ϕ_{ij}

- Seguindo esta ideia, (Rotta, 1951) assumiu para a modelação de $\phi_{ij,1}$ que em escoamentos onde as taxas de deformação do escoamento são nulas, o retorno à condição de isotropia é proporcional ao nível de anisotropia:

$$\phi_{ij,1} = -c_1 \frac{\varepsilon}{k} \left(\overline{u_i u_j} - \frac{2}{3} k \delta_{ij} \right)$$

onde $c_1 = 1,8$

- Empregando o mesmo princípio, Naot et. al. (1970) propuseram que $\phi_{ij,2}$ teria o papel de redistribuir os termos de produção P_{ij} no sentido da condição de isotropia. Assim,

$$\phi_{ij,2} = -c_2 \left(P_{ij} - \frac{2}{3} P_k \delta_{ij} \right)$$

onde $c_2 = 0,6$

2025

Modelagem de Escoamentos Turbulentos - C.J. Deschamps - UFSC

23

Modelação da Redistribuição ϕ_{ij}

- Em um escoamento simples com um gradiente de velocidade dU/dy , o modelo descrito até aqui retorna valores idênticos para $\overline{u_2^2}$ e $\overline{u_3^2}$.
- No entanto, isto não é observado experimentalmente, mesmo em escoamentos livres. Em escoamentos junto a superfícies sólidas, anisotropias ainda maiores ocorrem.
- Flutuações de pressão são refletidas por superfícies e isto ocasiona um amortecimento da componente de flutuação normal à superfície.
 - Assim, à medida que se aproxima de uma parede sólida, as flutuações de velocidade normais à parede decaem muito mais rapidamente do que as paralelas.
- Valores típicos de tensões em escoamentos ($\overline{u_i u_j}/k$)

	$\overline{u_1^2}$	$\overline{u_2^2}$	$\overline{u_3^2}$	$\overline{u_1 u_2}$
Escoamento livre	0,95	0,47	0,55	0,32
Escoamento junto à parede	1,20	0,25	0,55	0,25

- Um dos efeitos da superfície é impedir a transferência de energia para a tensão normal à parede. Isto também termina por atuar na redução da tensão de cisalhamento.

2025

Modelagem de Escoamentos Turbulentos - C.J. Deschamps - UFSC

24

Modelação da Redistribuição ϕ_{ij}

- Ao contrário do transporte difusivo devido a mecanismos viscosos, os efeitos das paredes sobre ϕ_{ij} são sentidos mesmo em regiões afastadas no escoamento.
- Uma proposta para a modelação de $\phi_{ij,w}$ foi apresentada por Gibson e Launder (1978) e é dada por:

$$\phi_{ij,w} = \phi'_{ij,1} + \phi'_{ij,2}$$

onde

$$\phi'_{ij,1} = c_1 \frac{\varepsilon}{k} \left[\overline{u_k u_m n_k n_m} \delta_{ij} - \frac{3}{2} \overline{u_k u_j n_k n_i} - \frac{3}{2} \overline{u_k u_i n_k n_j} \right] f_w$$

$$\phi'_{ij,2} = c_2 \left[\phi_{km,2} n_k n_m \delta_{ij} - \frac{3}{2} \phi_{ik,2} n_k n_j - \frac{3}{2} \phi_{jk,2} n_k n_i \right] f_w$$

- As constantes c_1 e c_2 são iguais a 0,5 e 0,3, respectivamente e n_i são componentes do vetor unitário \vec{n} normal à parede sólida;
- Em escoamentos incidindo contra uma superfície, o termo $\phi'_{ij,2}$ produz o efeito contrário ao esperado, ou seja, aumenta a componente normal à parede.

2025

Modelagem de Escoamentos Turbulentos - C.J. Deschamps - UFSC

25

Modelação da Redistribuição ϕ_{ij}

- Uma forma alternativa $\phi'_{ij,2}$, proposta por Craft e Launder (1992) fornece o comportamento adequado em ambas as situações de escoamento:

$$\begin{aligned} \phi'_{ij,2} = & -0.08 \frac{\partial U_l}{\partial x_k} \overline{u_l u_k} (\delta_{ij} n_l n_t - 3 n_i n_j) f_w \\ & - 0.1 k a_{lm} \left(\frac{\partial U_k}{\partial x_m} n_l n_k \delta_{ij} - 3/2 \frac{\partial U_i}{\partial x_m} n_l n_j - 3/2 \frac{\partial U_j}{\partial x_m} n_l n_i \right) f_w \\ & + 0.4 k \frac{\partial U_k}{\partial x_l} n_l n_k (n_i n_j - 1/3 n_t n_t \delta_{ij}) f_w \end{aligned}$$

- A função de escala de comprimento f_w é introduzida de tal forma a diminuir a atuação de $\phi'_{ij,1}$ e $\phi'_{ij,2}$ à medida que se afasta da parede.
- Uma definição comumente utilizada para f_w é

$$f_w = \frac{k^{3/2} / \varepsilon}{c_r d_w}$$

onde $c_r = 2,44$ e d_w é uma distância à parede que precisa ser interpretada adequadamente.

2025

Modelagem de Escoamentos Turbulentos - C.J. Deschamps - UFSC

26

Modelo para as Equações de Transporte de $\overline{u_i u_j}$

- Com as considerações anteriores, a equação modelada para o transporte de $\overline{u_i u_j}$ pode ser escrita na seguinte forma:

$$\begin{aligned} \frac{\partial \overline{u_i u_j}}{\partial t} + U_k \frac{\partial \overline{u_i u_j}}{\partial x_k} = & \left[\overline{u_i u_k} \frac{\partial U_j}{\partial x_k} - \overline{u_j u_k} \frac{\partial U_i}{\partial x_k} \right] + \frac{1}{\rho} \left[\overline{f_i u_j} + \overline{f_j u_i} \right] \\ & - c_1 \frac{\varepsilon}{k} \left[\overline{u_i u_j} - \frac{2}{3} k \delta_{ij} \right] - c_2 \left[P_{ij} - \frac{2}{3} P_k \delta_{ij} \right] \\ & + \frac{\partial}{\partial x_k} \left[\nu \frac{\partial \overline{u_i u_j}}{\partial x_k} + c_s \frac{k}{\varepsilon} \overline{u_k u_m} \frac{\partial \overline{u_i u_j}}{\partial x_m} \right] \\ & - \frac{2}{3} \varepsilon \delta_{ij} \end{aligned}$$

2025

Modelagem de Escoamentos Turbulentos - C.J. Deschamps - UFSC

27

Equação de Transporte para ε

- Verifica-se que a taxa de dissipação ε é uma incógnita nas equações das tensões $\overline{u_i u_j}$ e, assim, precisa ser avaliada.
 - Como vimos anteriormente, a equação de ε é uma das principais fontes de erro nos modelos de turbulência;
 - Esta incerteza sobre a qualidade da equação de ε tem consequências diretas sobre a modelação das equações de transporte de $\overline{u_i u_j}$;
- Por exemplo, como poderemos saber se eventuais falhas na previsão de $\overline{u_i u_j}$ provém de erros na determinação de ε ou das formas modeladas introduzidas nas suas equações de transporte (especialmente ϕ_{ij})?
- Embora existam dificuldades para esse diagnóstico, podemos separar as fontes dos problemas comumente encontrados.
 - Por exemplo, erros nos níveis de ε agem no sentido de produzir níveis de energia excessivamente baixos ou elevados;
 - Por outro lado, deficiências em ϕ_{ij} originam níveis inconsistentes para a energia relativa entre as tensões.

2025

Modelagem de Escoamentos Turbulentos - C.J. Deschamps - UFSC

28

Equação de Transporte de ε

- A forma mais utilizada da equação modelada de ε é essencialmente a mesma adotada em modelos de viscosidade turbulenta:

$$\frac{\partial \varepsilon}{\partial t} + U_j \frac{\partial \varepsilon}{\partial x_j} = d_\varepsilon + c_{\varepsilon 1} \frac{\varepsilon}{k} P_k - c_{\varepsilon 2} \frac{\varepsilon^2}{k}$$

- No entanto, o termo de difusão d_ε é modelado através da hipótese generalizada do gradiente de difusão de Daly e Harlow (1970):

$$d_\varepsilon = c_\varepsilon \frac{\partial}{\partial x_i} \frac{k}{\varepsilon} \overline{u_i u_j} \frac{\partial \varepsilon}{\partial x_j}$$

onde $c_\varepsilon = 0,18$.

- Além disto,

$$P_k = \overline{u_i u_j} \frac{\partial U_i}{\partial x_j}$$

2025

Modelagem de Escoamentos Turbulentos - C.J. Deschamps - UFSC

29

Equação de Transporte para k

- A energia cinética k das flutuações que aparece no termo de redistribuição $\phi_{ij,1}$ e na equação de ε pode ser obtida diretamente da soma das tensões normais;
- No entanto, geralmente o uso de uma equação de transporte também para k torna o procedimento iterativo mais estável;
- Neste caso, da mesma forma como realizado para a equação de ε , o termo de difusão d_k na equação de k é aproximado pela hipótese generalizada do gradiente de difusão. Assim,

$$\frac{\partial k}{\partial t} + U_j \frac{\partial k}{\partial x_j} = c_k \frac{\partial}{\partial x_i} \frac{k}{\varepsilon} \overline{u_i u_j} \frac{\partial k}{\partial x_j} + \overline{u_i u_j} \frac{\partial U_i}{\partial x_j} - \varepsilon$$

onde $c_k = 0,22$

2025

Modelagem de Escoamentos Turbulentos - C.J. Deschamps - UFSC

30

Condições de Contorno para $\overline{u_i u_j}$.

- A maioria dos modelos de transporte de $\overline{u_i u_j}$ foram desenvolvidos para regiões de escoamentos completamente turbulento;
- Para a solução de escoamentos limitados por regiões sólidas deve-se adotar um dos seguintes métodos:
 - Uso de funções-parede;
 - Inclusão de modelos baseados em μ_t na região junto às paredes que possam calcular os efeitos viscosos.

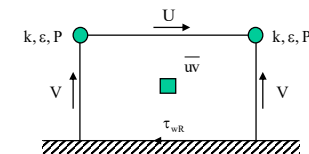
2025

Modelagem de Escoamentos Turbulentos - C.J. Deschamps - UFSC

31

Condições de Contorno para $\overline{u_i u_j}$.

- O ponto nodal adjacente à parede é localizado na região turbulenta, conforme mostrado abaixo, e então funções-parede são utilizadas para especificar as condições de contorno;



- A tensão cisalhante resultante na parede, τ_{wR} , é relacionada à velocidade U_p e à energia cinética k_p no ponto P pela seguinte relação

$$\frac{U_p}{\tau_{wR}/\rho} c_\mu^{1/4} k_p^{1/2} = \frac{1}{\kappa} \ln \left[\frac{E y_p c_\mu^{1/4} k_p^{1/2}}{v} \right]$$

2025

Modelagem de Escoamentos Turbulentos - C.J. Deschamps - UFSC

32

Condições de Contorno para $\overline{u_i u_j}$.

- Assim, para a tensão cisalhante junto à parede

$$\overline{uv} = -\frac{\tau_{wx}}{\rho} ; \quad \overline{vw} = -\frac{\tau_{wz}}{\rho} ; \quad \overline{uw} \cong 0$$

- As tensões normais são obtidas da solução direta de suas equações de transporte, com as seguintes modificações junto à parede:

- O transporte na parede por difusão é fixado como zero;

2025

Modelagem de Escoamentos Turbulentos - C.J. Deschamps - UFSC

33

Condições de Contorno para $\overline{u_i u_j}$.

- A geração e a dissipação nas equações são integradas com um tratamento diferenciado

$$P_{\overline{u^2}} = \iint_{y_v}^{y_N} -2 \rho \overline{uv} \frac{\partial U}{\partial y} dy dA ; \quad P_{\overline{v^2}} \cong 0$$

$$P_{\overline{w^2}} = \iint_{y_v}^{y_N} -2 \rho \overline{vw} \frac{\partial W}{\partial y} dy dA$$

$$\text{onde } y_v = -\frac{k^{1/2} y}{v} \cong 20$$

- Por outro lado a dissipação é calculada da seguinte forma:

$$\overline{\varepsilon} = \iint_{y_v}^{y_N} \frac{2 v k_p}{y} dy dA + \iint_{y_v}^{y_N} \frac{k_p^{3/2}}{\kappa y} dy dA$$

2025

Modelagem de Escoamentos Turbulentos - C.J. Deschamps - UFSC

34

Condições de Contorno para $\overline{u_i u_j}$.

- Para resolver o escoamento junto à parede, pode-se utilizar um modelo de viscosidade turbulenta na região viscosa e no restante do domínio o modelo das tensões de Reynolds;
- Quando isto é feito, deve-se fornecer condições de contorno para $\overline{u_i u_j}$, k e ε na interface entre os dois modelos;
- Se o modelo de v_t for o modelo k - ε os valores para k e ε são obtidos diretamente;
- Caso o modelo de comprimento de mistura seja utilizado, as seguintes relações para a determinação de k e ε podem ser usadas:

$$\varepsilon = P_k ; \quad k = \left(\frac{\varepsilon v_t}{c_\mu} \right)^{1/2}$$

2025

Modelagem de Escoamentos Turbulentos - C.J. Deschamps - UFSC

35

Condições de Contorno para $\overline{u_i u_j}$.

- Os valores de $\overline{u_i u_j}$ são avaliados através da relação de Kolmogorov:

$$\overline{u_i u_j} = -v_t \left(\frac{\partial U_i}{\partial x_j} + \frac{\partial U_j}{\partial x_i} \right) + \frac{2}{3} k \delta_{ij}$$

- A relação acima não fornece boas estimativas para as tensões normais.
- Assim, geralmente assume-se que a derivada da razão $\overline{u_i u_j}/k$ seja zero na interface entre os dois modelos. Isto é implementado fazendo

$$(\overline{u_i u_i})_{DSM} = k_{DSM} (\overline{u_i u_i}/k)_{EVM}$$

2025

Modelagem de Escoamentos Turbulentos - C.J. Deschamps - UFSC

36